



Ordre des tresses: histoire et connection avec les nœuds

Patrick Dehornoy

Laboratoire de Mathématiques Nicolas Oresme
Université de Caen

Grenoble, avril 2018

- Quelques-uns des nombreux aspects de l'ordre standard des tresses,
 - ▶ avec un accent sur les quelques connections connues avec la théorie des nœuds.

Plan:

- ▶ I. L'ordre des tresses dans l'Antiquité
- ▶ II. L'ordre des tresses au Moyen-Âge
- ▶ III. L'ordre des tresses dans les Temps Modernes

Plan:

▶ I. L'ordre des tresses dans l'Antiquité: 1985-1995



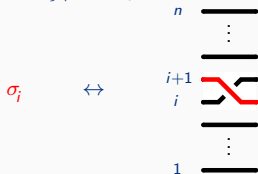
▶ II. L'ordre des tresses au Moyen-Âge

▶ III. L'ordre des tresses dans les Temps Modernes

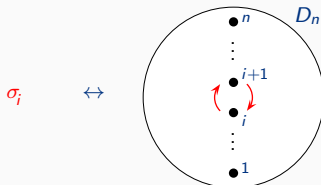
- Définition (Artin 1925/1948) : Le **groupe des tresses à n brins** est le groupe

$$B_n := \left\langle \sigma_1, \dots, \sigma_{n-1} \mid \begin{array}{ll} \sigma_i \sigma_j = \sigma_j \sigma_i & \text{pour } |i - j| \geq 2 \\ \sigma_i \sigma_j \sigma_i = \sigma_j \sigma_i \sigma_j & \text{pour } |i - j| = 1 \end{array} \right\rangle.$$

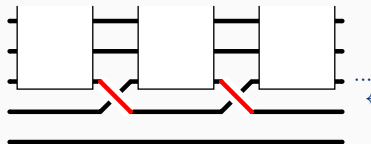
\simeq { diagrammes de tresse } / isotopie:



\simeq mapping class group de D_n (disque avec n points marqués):



- Définition: Un diagramme de tresses σ -positif:



...
 ← les croisements inférieurs ($= \sigma_i$ avec i minimal)
 sont tous positifs (pas de σ_i^{-1})

- Théorème 1 (D. 1992): Pour $\beta, \beta' \in B_n$, déclarons $\beta <_D \beta'$ si $\beta^{-1}\beta'$ est représentable par un diagramme σ -positif. Alors $<_D$ est un ordre total sur B_n invariant à gauche.

↑
 $\beta <_D \beta'$ implique $\alpha\beta <_D \alpha\beta'$

- Exemple: Soit $\beta := \sigma_1$, $\beta' := \sigma_2\sigma_1$. Alors $\beta^{-1}\beta' = \sigma_1^{-1}\sigma_2\sigma_1 = \sigma_2\sigma_1\sigma_2^{-1}$, donc $\beta <_D \beta'$.
- Question: D'où vient cet ordre?
 - ▶ Réponse: De la **théorie des ensembles** et des grands cardinaux.

- Définition: Un **shelf** (ou LD-système) est une structure algébrique (S, \triangleright) avec \triangleright obéissant à la loi d'**autodistributivité**

$$x \triangleright (y \triangleright z) = (x \triangleright y) \triangleright (x \triangleright z).$$

- Exemple 1: (moyenne) $s \triangleright t := \lambda s + (1 - \lambda)t$.
- Exemple 2: (conjugaison) $s \triangleright t := sts^{-1}$.
 - ▶ tous idempotents: $s \triangleright s = s$.

- Définition: Un shelf (S, \triangleright) est **acyclique** si on n'a jamais

$$s = (\dots((s \triangleright t_1) \triangleright t_2) \dots \triangleright t_p);$$

Un shelf (S, \triangleright) est **ordonnable** s'il existe un ordre total $<$ sur S vérifiant, pour tous s, t ,

$$s < s \triangleright t.$$

- ▶ ordonnable \Rightarrow acyclique \Rightarrow non idempotent: $s = s \triangleright s$ impossible.

- Proposition (D., 1989): *S'il existe un shelf acyclique :*

- ▶ *Il existe un shelf ordonnable ;*
- ▶ *Le problème de mot de LD est résoluble.*

↑
reconnaître si deux expressions formelles sont équivalentes modulo LD

- Proposition (Laver, 1989): *S'il existe un cardinal de Laver, alors, pour tout plongement j associé, le shelf $\text{Iter}(j)$ est acyclique.*

↑
une application d'un rang R dans lui-même
témoignant de ce que R est «super-infini»

↑
itérés de j :
 $j, j(j), j(j)(j), \text{etc.}$

- ▶ *Démonstration : $\text{crit}(j(k)) = j(\text{crit}(k)) \neq \text{crit}(j)$, donc $j(k) \neq j$. □*

- Corollaire : *S'il existe un cardinal de Laver, le problème de mot de LD est résoluble.*

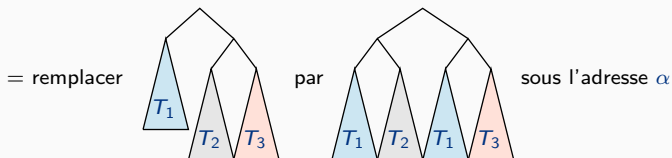
- ▶ Très étrange !!! Peut-on éviter l'hypothèse de grand cardinal ?

- Théorème (D. 1991): *Il existe un shelf acyclique, à savoir le shelf monogène libre S_1 .*

► Démonstration (principe): Introduire le «groupe de Thompson de LD»
(comme F est celui de l'associativité).

Soit \mathcal{T} := toutes les expressions formelles sur x et \triangleright = tous les arbres binaires ;

Soit LD_α := opérateur «appliquer la loi LD à l'adresse α dans le sens expansion»



Soit \mathcal{G}_{LD} := monoïde engendré par tous les opérateurs $LD_\alpha^{\pm 1}$ agissant sur \mathcal{T} .

Alors (trivial) S_1 est le quotient de \mathcal{T} par l'action de \mathcal{G}_{LD} , et S_1 est acyclique ssi un élément de \mathcal{G}_{LD} n'envoie jamais un arbre sur un de ses sous-arbres gauches

...ce qui se montre en développant une «théorie de Garside» pour \mathcal{G}_{LD} . \square

les éléments s'écrivent ab^{-1} avec a, b dans le monoïde engendré par les LD_α

• Corollaire 1: ~~S'il existe un cardinal de Laver~~, le problème de mot de LD est résoluble.

• Corollaire 2: ordre des tresses.

• Méthode: utiliser les coloriage de diagrammes de tresse :

▶ fixer un ensemble S ("couleurs") avec \triangleright opération binaire sur S ,

▶ appliquer des couleurs aux extrémités gauche d'un diagramme,

▶ propager vers la droite par 

▶ comparer les n couleurs d'entrée et les n couleurs de sortie :

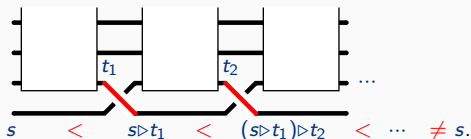
définit une action des diagrammes de tresse à n brins sur S^n .

• Lemme: Le coloriage induit une action de B_n^+ sur S^n ssi (S, \triangleright) est un shelf, et une action partielle de B_n sur S^n si, de plus, (S, \triangleright) est simplifiable à gauche.

↑
pas toujours définie, mais, pour tous β_1, \dots, β_p dans B_n ,
il existe \vec{s} dans S^n t.q. $\beta_1 \bullet \vec{s}, \dots, \beta_p \bullet \vec{s}$ soient définies.

- Lemme 1: *Un diagramme de tresse σ -positif n'est jamais trivial.*

► Démonstration: colorier avec un shelf ordonnable...



□

- Lemme 2: *Deux tresses sont toujours comparables.*

► Démonstration: colorier avec un shelf ordonnable...



Alors $\beta <_D \beta'$ ssi $(t_1, t_2, \dots) <^{\text{Lex}} (t'_1, t'_2, \dots).$

□

- Question: L'ordre des tresses est-il une **application** la théorie des ensembles ?
 - ▶ Formellement, **non** : les tresses apparaissent quand les ensembles disparaissent.
 - ▶ Essentiellement, **oui** : les shelves ordonnables n'ont été étudiés que parce que la théorie des ensembles avait suggéré qu'ils pouvaient exister et être mêlés à des phénomènes non triviaux.

- Remarque: Le lien «loi LD/groupe de Thompson \mathcal{G}_{LD} /tresses» n'est pas fortuit :

- ▶ relations «géométriques» dans \mathcal{G}_{LD} :

$$LD_{\alpha 1 \beta} LD_{\alpha} = LD_{\alpha} LD_{\alpha 1 \beta}, \quad LD_{\alpha 1} LD_{\alpha} LD_{\alpha 1} LD_{\alpha 0} = LD_{\alpha} LD_{\alpha 1} LD_{\alpha}, \text{ etc.} \quad (*)$$

- ▶ collapser les adresses contenant 0 (= tuer le défaut d'autodistributivité)

- ▶ restent les $LD_{11\dots 1}$: en écrivant σ_i pour $LD_{1^{i-1}}$, les relations restantes sont

$$\sigma_{i+2+j} \sigma_i = \sigma_i \sigma_{i+2+j}, \quad \sigma_i \sigma_{i+1} \sigma_i = \sigma_{i+1} \sigma_i \sigma_{i+1} :$$

Le groupe des tresses B_{∞} est un quotient du groupe de Thompson \mathcal{G}_{LD} .

Plan:

- ▶ I. L'ordre des tresses dans l'Antiquité
- ▶ II. L'ordre des tresses au Moyen-Âge: 1995–2000



- ▶ III. L'ordre des tresses dans les Temps Modernes

- L'ordre des tresses est un objet compliqué: **non-Archimédien**, **non-Conradien**, ...

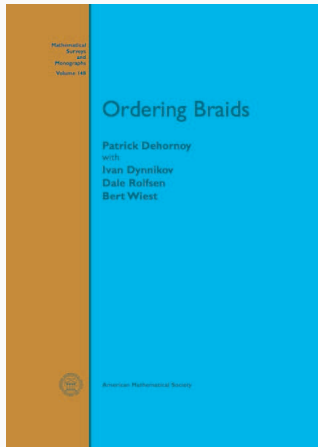
$$\exists \beta, \beta' > 1 \forall p (\beta^p <_D \beta') \quad \exists \beta, \beta' > 1 \forall p (\beta <_D \beta' \beta^p)$$

- Théorèmes (Burckel, D., Dynnikov, Fenn, Fromentin, Funk, Greene, Larue, Rolfsen, Rourke, Short, Wiest, ...):

«*De nombreuses approches mènent au même ordre sur les tresses*».

- Théorèmes (Clay, Dubrovina–Dubrovin, Ito, Navas, Rolfsen, Short, Wiest, ...):

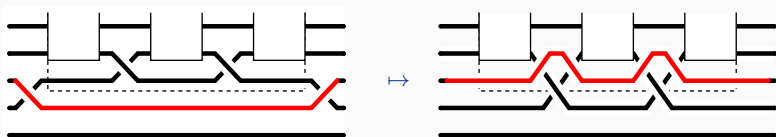
«*Il existe de nombreux ordres sur les tresses formant un espace intéressant*».



- Une σ_i -poignée :



- Réduire une poignée :

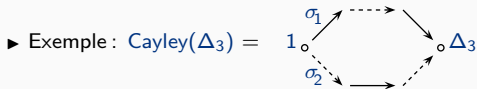


- ▶ La réduction des poignées est une isotopie ;
- ▶ Elle étend la réduction des groupes libres ;
- ▶ Les mots sans poignée sont : le mot vide, les mots σ -positifs, les mots σ -négatifs.

• Théorème (D. 1995) : Une tresse β satisfait $\beta = 1$ (resp. $\beta > 1$) ssi une/toute suite de réductions de poignée à partir d'un/de tout mot représentant β finit avec le mot vide (resp. avec un mot σ -positif).

- But: Montrer qu'il n'y a pas de suite infinie de réductions.
- **graphe de Cayley** de B_n : sommets := braids; arête $\beta \xrightarrow{\sigma_i} \beta'$ pour $\beta\sigma_i = \beta'$.

- **Cayley(Δ_n^d)**: restriction du graphe de Cayley de B_n aux diviseurs de Δ_n^d
(au sens du monoïde B_n^+)



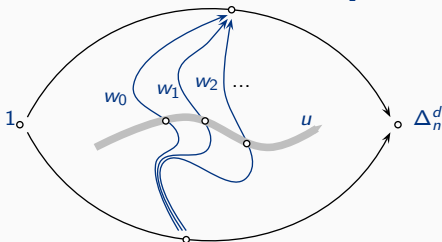
- Mot de tresse **tracé** dans Cayley(Δ_n^d) à partir d'un sommet :

$\sigma_1\sigma_2\sigma_2^{-1}$ est tracé à partir de 1 in Cayley(Δ_3), mais σ_1^2 ne l'est pas.

- Lemme: (i) *Tout mot de tresse à n brins est tracé dans Cayley(Δ_n^d) pour $d \gg 0$.*
(ii) *Pour tout β , les mots tracés à partir de β dans Cayley(Δ_n^d) sont clos par réduction.*

- De là: dans toute suite de réductions de poignée à partir d'un mot, les mots successifs sont tous tracés dans un fragment **fini** du graphe de Cayley de B_n .

- But (rappel) : Montrer qu'il n'y a pas de suite infinie de réductions.
- Soit $\vec{w} = (w_0, w_1, \dots)$ une suite de réductions, avec tous les w_i tracés dans $\text{Cayley}(\Delta_n^d)$.
 - ▶ Point: Montrer que $N := \#\text{réductions de la 1ère } \sigma_1\text{-poignée dans } \vec{w}$ est **fini**.
 - ▶ Raison: Il existe un **mot-témoin** u (transversal), tracé dans $\text{Cayley}(\Delta_n^d)$, t.q. u ne contient pas de lettre σ_1^{-1} , et contient N lettres σ_1 :



- ▶ Or : un chemin sans σ_1^{-1} ne peut pas repasser deux fois par une même arête σ_1 .
- ▶ Comme le nombre d'arêtes σ_1 dans $\text{Cayley}(\Delta_n^d)$ est fini, N est fini. \square
- Question : Quelle est la complexité ? Trouver la «vraie» preuve de convergence.

- Définition : Pour x dans \mathbb{Z} , posons $x^+ = \max(0, x)$, $x^- = \min(x, 0)$, et

$$F^+(x_1, y_1, x_2, y_2) = (x_1 + y_1^+ + (y_2^+ - z_1)^+, y_2 - z_1^+, x_2 + y_2^- + (y_1^- + z_1)^-, y_1 + z_1^+),$$

$$F^-(x_1, y_1, x_2, y_2) = (x_1 - y_1^+ - (y_2^+ + z_2)^+, y_2 + z_2^-, x_2 - y_2^- - (y_1^- - z_2)^-, y_1 - z_2^-),$$
 avec $z_1 = x_1 - y_1^- - x_2 + y_2^+$ et $z_2 = x_1 + y_1^- - x_2 - y_2^+$.

On définit une action des mots de tresses à n brins sur \mathbb{Z}^{2n} par

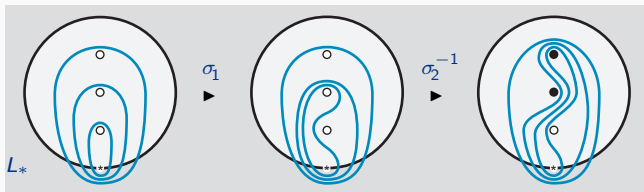
$$(a_1, b_1, \dots, a_n, b_n) \bullet \sigma_i^e = (a'_1, b'_1, \dots, a'_n, b'_n)$$

avec $a'_k = a_k$ et $b'_k = b_k$ pour $k \neq i, i+1$, et $(a'_i, b'_i, a'_{i+1}, b'_{i+1}) = F^e(a_i, b_i, a_{i+1}, b_{i+1})$, puis les **coordonnées** d'un mot de tresse w comme $(0, 1, 0, 1, \dots, 0, 1) \bullet w$.

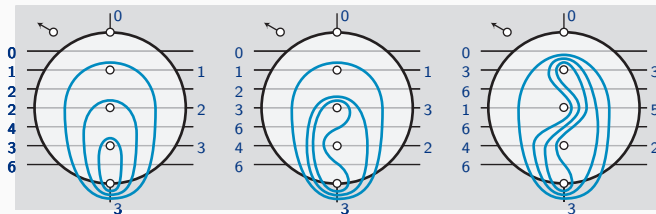
- Remarque: semble «terrible», mais facile à implémenter (complexité quadratique).

- Théorème (Dynnikov, 2000) : Une tresse β satisfait $\beta = 1$ (resp. $\beta >_D 1$) ssi les coordonnées d'un/de tout mot de tresse représentant β sont $(0, 1, 0, 1, \dots, 0, 1)$ (resp. la première coordonnée impaire non nulle est positive).

- Regarder une tresse à n brins comme classe d'isotopie d'un homéomorphisme d'un disque à n points marqués ; ► agit sur les laminations de D_n (plongé dans S^2).



- Compter les intersections de $\beta(L_*)$ avec une triangulation (singulière) fixée T_* :

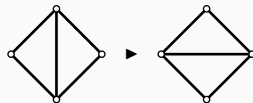


- $3n + 3$ entiers qui déterminent la tresse ; coordonnées = demi-différences (réduit de $3n + 3$ à $2n$ entiers relatifs)

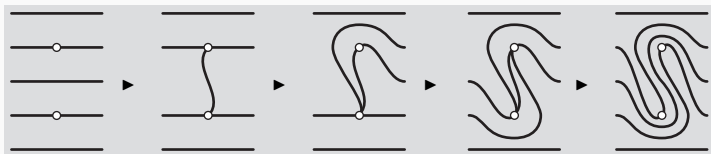
- Question: Quelles sont les coordonnées de $\beta\sigma_i$ en termes de celles de β et de i ?
 = comparer les intersections de L et de $\sigma_i(L)$ avec la triangulation de base T_*
 ↑
 une lamination \approx famille de courbes fermées

- On a $\#(\sigma_i(L) \cap T_*) = \#(L \cap \sigma_i^{-1}(T_*))$.
 Donc revient à comparer les intersections of L avec T_* et $\sigma_i^{-1}(T_*)$.

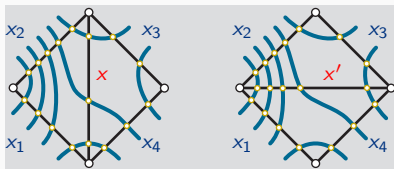
- Fait: Si T, T' sont deux triangulations (singulières) d'une surface, on peut passer de T à T' par une suite finie de **flips**:



- Donc: décomposer le passage de T_* à $\sigma_i^{-1}(T_*)$ en un produit de flips:



- Or, pour un flip:



$$x + x' = \max(x_1 + x_3, x_2 + x_4)$$

- formules de Dynniov en itérant quatre fois...

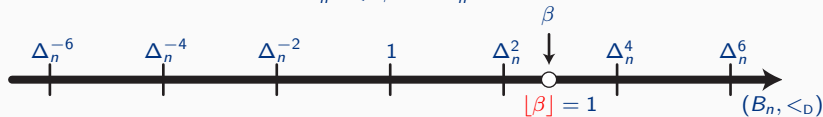
Plan:

- ▶ I. L'ordre des tresses dans l'Antiquité
- ▶ II. L'ordre des tresses au Moyen-Âge
- ▶ III. L'ordre des tresses dans les Temps Modernes: depuis 2000



- Définition : Pour β dans B_n , le **plancher** $\lfloor \beta \rfloor$ est l'unique entier m satisfaisant

$$\Delta_n^{2m} \leq_D \beta <_D \Delta_n^{2m+2}.$$



- Proposition (Malyutin–Netsvetsev, 2000) :

- (i) Le plancher est un quasi-caractère de défaut 1 sur B_n : $|\lfloor \beta\gamma \rfloor - \lfloor \beta \rfloor - \lfloor \gamma \rfloor| \leq 1$.
- (ii) Si β et β' sont conjuguées, on a $|\lfloor \beta \rfloor - \lfloor \beta' \rfloor| \leq 1$.

- Principe pour utiliser le plancher en théorie des nœuds :

Si $|\lfloor \beta \rfloor|$ est grand, les propriétés de l'entrelacs $\widehat{\beta}$ peuvent être lues à partir de β .

- Lemme : Si $||\beta|| \geq 2$, alors $\widehat{\beta}$ n'admet pas de **déstabilisation**.

(pour $\beta \in B_n$) β n'est conjuguée à aucune tresse $\gamma \sigma_{n-1}^{\pm 1}$ avec $\gamma \in B_{n-1}$

- **Démonstration** : supposons $\beta \sim \gamma \sigma_{n-1}$ avec $\gamma \in B_{n-1}$.

Alors $\beta \sim \Delta_n \gamma \sigma_{n-1} \Delta_n^{-1} = \text{sh}(\gamma') \sigma_1$,

où $\text{sh} : \sigma_i \mapsto \sigma_{i+1}$ pour tout i et $\gamma' := \Delta_{n-1} \gamma \Delta_{n-1}^{-1}$.

De là : $1 <_D \text{sh}(\gamma') \sigma_1$, puisque $\text{sh}(\gamma') \sigma_1$ est σ -positif.

Et $\text{sh}(\gamma') \sigma_1 <_D \Delta_n^2$, puisque $\sigma_1^{-1} \text{sh}(\gamma'^{-1}) \Delta_n^2 = \sigma_1^{-1} \Delta_n^2 \text{sh}(\gamma'^{-1})$ est σ -positif.

Donc, $1 <_D \text{sh}(\gamma') \sigma_1 <_D \Delta_n^2$, soit $[\text{sh}(\gamma') \sigma_1] = 0$.

Donc $||\beta|| \leq 1$. Idem pour $\beta \sim \gamma \sigma_{n-1}^{-1}$...

□

- Proposition (Malyutin–Netsvetsev, Ito) :

- (i) Si on a $||\beta|| \geq 2$, alors $\widehat{\beta}$ n'admet pas d'**exchange move**.

(pour $\beta \in B_n$) β conjuguée à aucune tresse $\gamma_1 \sigma_{n-1}^{\pm 1} \gamma_2 \sigma_{n-1}^{\mp 1}$ avec $\gamma_1, \gamma_2 \in B_{n-1}$

- (ii) Si on a $||\beta|| \geq 3$, alors $\widehat{\beta}$ n'admet pas de **flype**.

β conjuguée à aucune tresse $\gamma_1 \sigma_{n-1} \gamma_2 \sigma_{n-1}^{\pm 1} \gamma_3 \sigma_{n-1}^{-1}$ avec $\gamma_1, \gamma_2, \gamma_3 \in B_{n-1}$

- Théorème (Malyutin–Netsvetaev, 2004) :

Si on a $|\llbracket \beta \rrbracket| > 1$, alors $\widehat{\beta}$ est **premier**, **non scindé**, et **non trivial**.

- ▶ Démonstration : Si χ est un pseudo-caractère sur B_n satisfaisant $\chi|_{B_{n-1}} = 0$, alors $|\chi(\beta)| > \text{défaut}(\chi)$ entraîne que $\widehat{\beta}$ est premier. Appliquer à $\llbracket \cdot \rrbracket_s$. \square
 version stable du plancher := $\lim \llbracket \beta^s \rrbracket / s$

- Théorème (Malyutin–Netsvetaev, 2004) : Pour tout n , il existe $r(n)$ t.q., pour tout β de B_n vérifiant $|\llbracket \beta \rrbracket| \geq r(n)$, l'entrelacs $\widehat{\beta}$ correspond à une **unique** classe de conjugaison.

$$\forall \beta, \beta' \in B_n \quad \widehat{\beta'} \approx \widehat{\beta} \Rightarrow \beta' \sim \beta$$

- ▶ Démonstration : Pour tout «template move» M , il existe r t.q. $|\llbracket \beta \rrbracket| > r$ entraîne que M ne s'applique pas à $\widehat{\beta}$. Suivant la théorie MTWS de Birman-Menasco, il n'existe qu'un nombre fini de template moves pour chaque n . \square

- Théorème (Ito, 2012) : Pour toute tresse β dans B_n :

$$||\beta|| \leq \frac{4 \cdot \text{genus}(\widehat{\beta}) - 2}{n + 2} + \frac{3}{2} \leq \text{genus}(\widehat{\beta}) + 1.$$

«La clôture d'une grande tresse est un nœud compliqué.»

- Théorème (Ito, 2012) : Si β satisfait $||\beta|| \geq 2$ et si $\widehat{\beta}$ est un nœud, alors

- ▶ β est périodique **ssi** $\widehat{\beta}$ est un nœud torique,
- ▶ β est réductible **ssi** $\widehat{\beta}$ est un nœud satellite,
- ▶ β est pseudo-Anosov **ssi** $\widehat{\beta}$ est hyperbolique.

Faux en général : le nœud de trèfle est la clôture de σ_1^3 (périodique),
de $\sigma_1\sigma_2\sigma_3\sigma_1\sigma_2$ (réductible), et de $\sigma_1^3\sigma_2^{-1}$ (pseudo-Anosov).

- Théorème (Ito, 2014) : Pour H sous-groupe distingué non trivial non central de B_n , et γ dans B_n , l'ensemble $\{\widehat{\beta\gamma} \mid \beta \in H\}$ contient une **infinité** de nœuds hyperboliques.

- ▶ Démonstration : H est non borné par rapport à $<_D$: $\forall \gamma \in B_n \exists \beta \in H (\gamma <_D \beta)$.
(non trivial: utilise la **forme normale alternante** des tresses)
Alors $\{\beta\gamma \mid \beta \in H\}$ est aussi non borné.
Alors $\{\beta\gamma \mid \beta \in H \text{ et } \beta \text{ pure}\}$ est aussi non borné.
Dès que $\widehat{\gamma}$ est un nœud, $\{\widehat{\beta\gamma} \mid \beta \in H \text{ et } \beta \text{ pure}\}$ contient des nœuds de genres non bornés, donc certainement une infinité de nœuds distincts.
De plus, on peut se limiter à $\beta\gamma$ pseudo-Anosov, et, de là, à $\widehat{\beta\gamma}$ hyperbolique.□

- Corollaire (Ito, 2014) : Si ρ_1, \dots, ρ_k sont des représentations quantiques non fidèles de B_n , alors, pour tout type d'isotopie τ , il existe une infinité de nœuds hyperboliques de type τ sur lesquels les invariants dérivés de ρ_1, \dots, ρ_k prennent la même valeur.
- Corollaire (Ito, 2014) : Si la **représentation de Burau** de B_4 n'est pas fidèle, il existe un nœud non trivial qui a un **polynôme de Jones** trivial.

- Théorème (Laver, 1995): Pour toute tresse β et tout i , on a $\beta^{-1}\sigma_i\beta >_D 1$.

- Corollaire: La restriction de l'ordre $<_D$ à B_n^+ est un bon ordre.

le sous-monoïde de B_n engendré par $\sigma_1, \dots, \sigma_{n-1}$ ↑ tout sous-ensemble non vide de B_n^+ a un plus petit élément ↑

- Définition: Pour β dans B_n^+ , posons

$$\mu(\beta) := \min\{\beta' \in B_n^+ \mid \beta' \text{ conjugué à } \beta\}.$$

utile seulement si la fonction μ peut être calculée...

- Conjecture (D., Fromentin, Gebhardt, 2009): Pour β dans B_3^+ ,

$$\mu(\beta\Delta_3^2) = \sigma_1\sigma_2^2\sigma_1 \cdot \mu(\beta) \cdot \sigma_1^2.$$

... plus généralement, espoir raisonnable de calculer μ avec la forme normale alternante et son analogue pour le monoïde dual (forme normale tournante de Fromentin).

- P. Dehornoy, with I. Dynnikov, D. Rolfsen, B. Wiest, *Ordering braids*
Math. Surveys and Monographs vol. 148, Amer. Math. Soc. (2008)
- A. Malyutin and N. Netsvetayev, Dehornoy's ordering on the braid group and braid moves,
St. Petersburg Math. J. 15 (2004) 437-448.
- T. Ito, Braid ordering and knot genus, *J. Knot Th. Ramif.* 20 (2011) 1311-1323.
- T. Ito, Braid ordering and the geometry of closed braids, *Geom. Topol.* 15 (2011) 473-498.
- T. Ito, A kernel of braid group representation yields a knot with trivial knot polynomial,
Math. Zeitschr. 280 (2015) 347-353.
- J. Fromentin, Every braid admits a short sigma-definite expression,
J. Europ. Math. Soc. 13 (2011) 1591-1631.